

Etapas esenciales en procesamiento discreto de señales

Dr. Ing. Rodrigo Gonzalez

`rodrazalez@frm.utn.edu.ar`

Técnicas Digitales III

Universidad Tecnológica Nacional,
Facultad Regional Mendoza.

- 1 Representación en el dominio de la frecuencia de señales sampleadas
- 2 Etapas esenciales de un sistema DSP
- 3 Filtro aliasing
- 4 Conversión A/D
- 5 Conversión D/A

La representación discreta de una señal continua $x_c(nT)$ se puede obtener muestreando la misma en forma uniforme. Esto genera una secuencia de muestras $x[n]$.

$$x[n] = x_c(nT), \quad -\infty < n < \infty, \quad (1)$$

donde T es el periodo de muestreo, y $f_s = 1/T$ es la frecuencia de muestreo, o $\Omega_s = 2\pi/T$ en radianes.

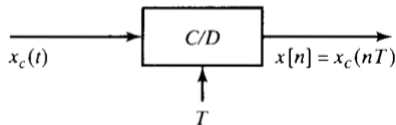


Figure 4.1 Block diagram representation of an ideal continuous-to-discrete-time (C/D) converter.

- Matemáticamente, es conveniente representar el muestreo de una señal continua en dos etapas.
- Se multiplica un tren de impulsos $s(t)$ por la señal continua $x_c(t)$.
- La señal continua $x_s(t)$ es transformada en una secuencia discreta $x[n]$.

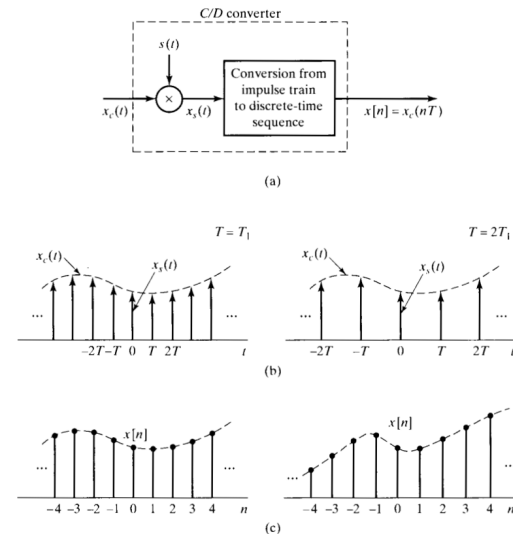


Figure 4.2 Sampling with a periodic impulse train followed by conversion to a discrete-time sequence. (a) Overall system. (b) $x_s(t)$ for two sampling rates. (c) The output sequence for the two different sampling rates.

Respuesta en frecuencia de señales muestreadas

$x_s(t)$ se obtiene modulando $x_c(t)$ por un tren de impulsos $s(t)$,

$$s(t) = \sum_{n=-\infty}^{\infty} \delta(t - nT), \quad (2)$$

$$x_s(t) = x_c(t) s(t), \quad (3)$$

$$= x_c(t) \sum_{n=-\infty}^{\infty} \delta(t - nT), \quad (4)$$

$$= \sum_{n=-\infty}^{\infty} x_c(nT) \delta(t - nT). \quad (5)$$

La transformada de Fourier de $s(t)$ es un tren de impulsos periódico,

$$S(j\Omega) = \frac{2\pi}{T} \sum_{k=-\infty}^{\infty} \delta(\Omega - k\Omega_s), \quad \text{con } \Omega_s = \frac{2\pi}{T}. \quad (6)$$

La transformada de Fourier de $x_s(t)$ es la convolución en el dom. de la frecuencia de $X_c(j\Omega)$ y $S(j\Omega)$,

$$X_s(j\Omega) = \frac{1}{2\pi} X_c(j\Omega) * S(j\Omega), \quad (7)$$

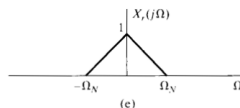
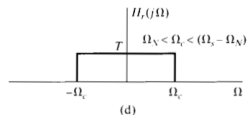
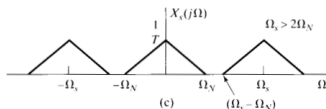
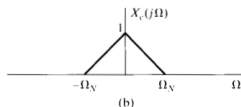
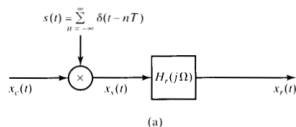
$$X_s(j\Omega) = \frac{1}{T} X_c[j(\Omega - k\Omega_s)]. \quad (8)$$

Obtención de una señal continua a partir de un tren de impulsos

- Si $X_r(j\Omega)$ es un filtro pasa bajos ideal con ganancia T y frecuencia de corte Ω_c tal que,

$$\Omega_N < \Omega_c < \Omega_s - \Omega_N$$

$$\text{Entonces, } X_r(j\Omega) = X_c(j\Omega)$$



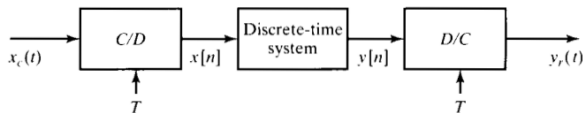
Sea $x_c(t)$ una señal limitada en frecuencia con

$$X_c(j\Omega) = 0 \text{ para } |\Omega| \geq \Omega_n. \quad (9)$$

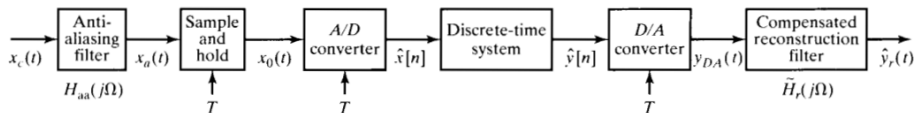
Entonces $x_c(t)$ está únicamente determinado por sus muestras $x[n] = x_c(nT)$, $n = 0, \pm 1, \pm 2, \dots$ si

$$\Omega_s = \frac{2\pi}{T} \geq 2\Omega_n. \quad (10)$$

Ω_n se conoce como la frecuencia de Nyquist



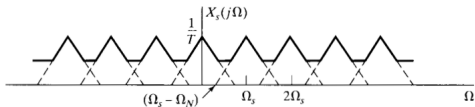
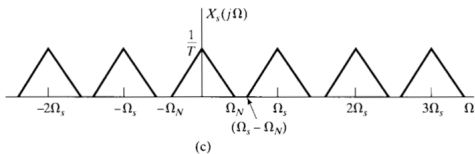
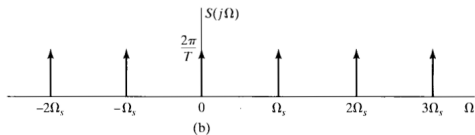
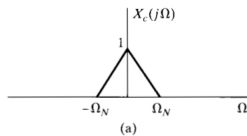
(a)



(b)

Figure 4.41 (a) Discrete-time filtering of continuous-time signals. (b) Digital processing of analog signals.

Filtro antialiasing, motivación



- Aunque la señal esté naturalmente limitada en frecuencia (por ej., música), se debe limitar el BW para reducir el ruido blanco presente en todo el espectro.
- (Reproducir video).

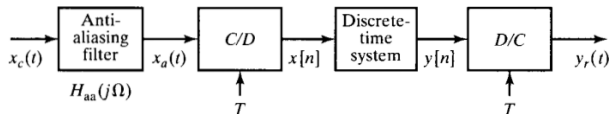


Figure 4.42 Use of prefiltering to avoid aliasing.

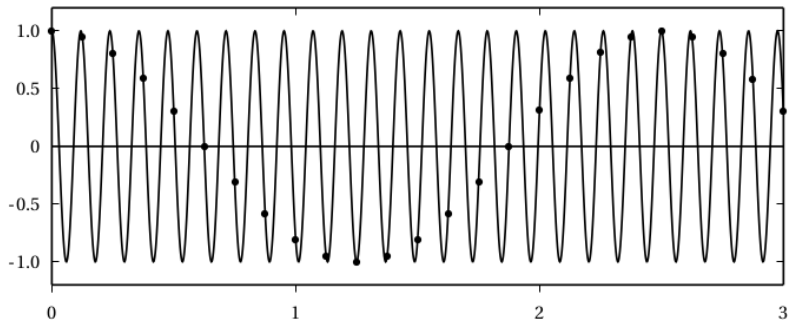


Figure 9.8 Example of aliasing: a sinusoid at 8400 Hz, $x(t) = \cos(2\pi \cdot 8400t)$ (solid line) is sampled at $F_s = 8000$ Hz. The sampled values (dots) are indistinguishable from those of at 400 Hz sinusoid sampled at F_s .

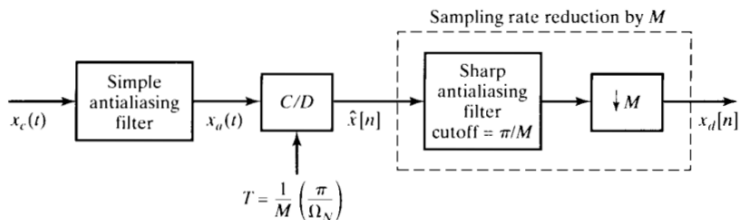


Figure 4.43 Using oversampled A/D conversion to simplify a continuous-time antialiasing filter.

Filtro antialiasing, espectro Oversampling

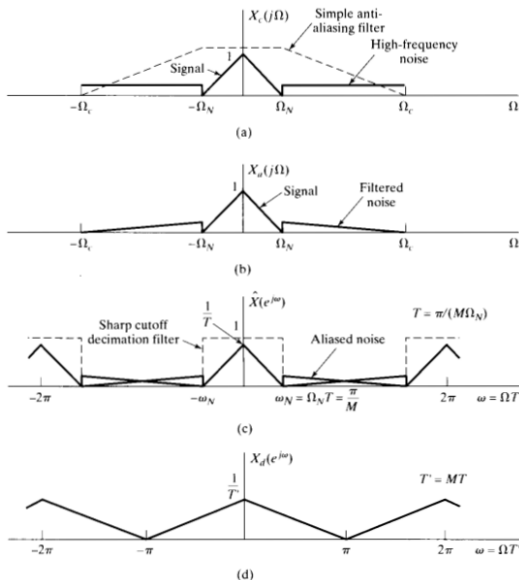
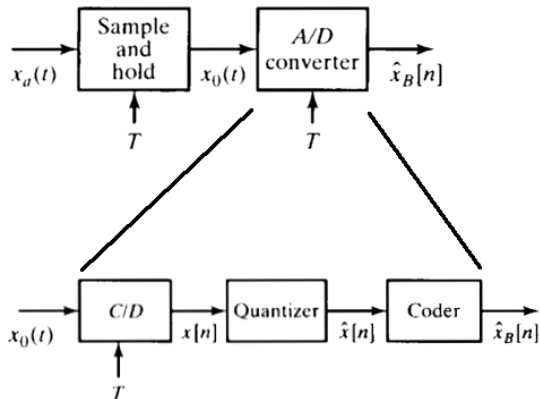


Figure 4.44 Use of oversampling followed by decimation in C/D conversion.

Etapas de un conversor A/D



- Cuantizador Lineal o no lineal.
- Cuantizador para señales bipolares.
- La cantidad de niveles de cuantización es potencia de dos (2^N)

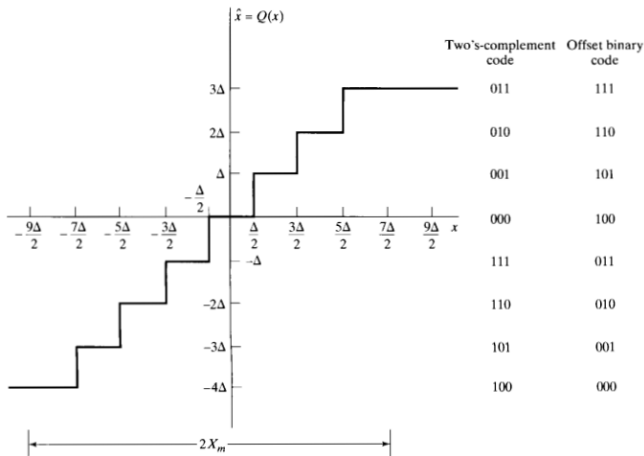


Figure 4.48 Typical quantizer for A/D conversion.

Cuantizador (2)

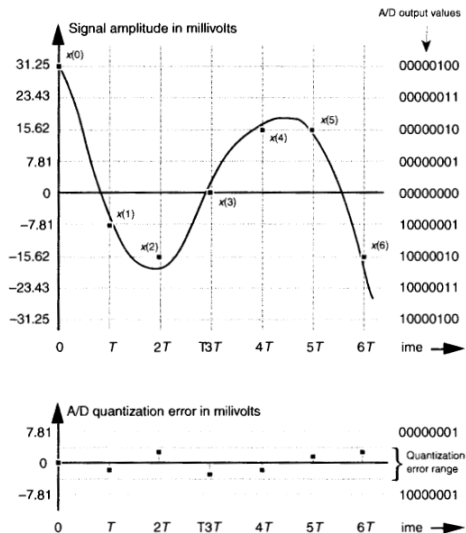


Figure: 12.1 [2]

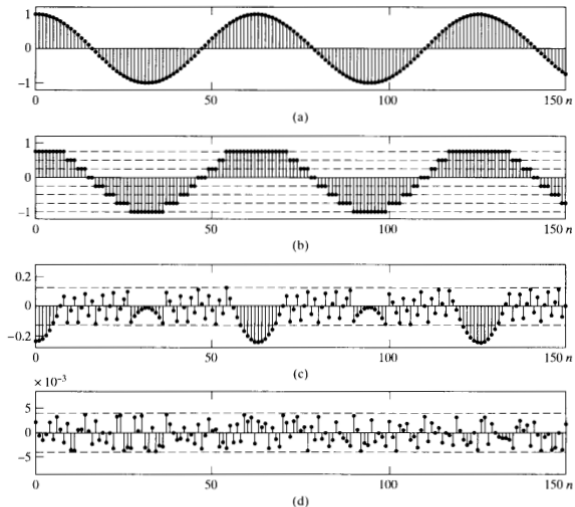


Figure 4.51 Example of quantization noise. (a) Unquantized samples of the signal $x[n] = 0.99 \cos(n/10)$. (b) Quantized samples of the cosine waveform in part (a) with a 3-bit quantizer. (c) Quantization error sequence for 3-bit quantization of the signal in (a). (d) Quantization error sequence for 8-bit quantization of the signal in (a).

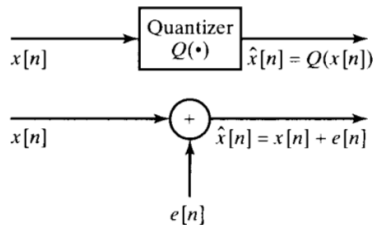


Figure 4.50 Additive noise model for quantizer.

La precisión del cuantizador está dada por [2]:

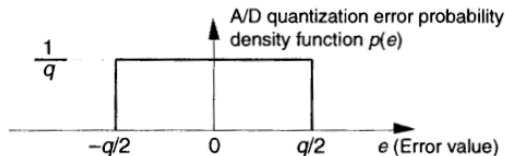
$$q = \frac{\text{full voltage range}}{2^{\text{word length}}} = \frac{2V_p}{2^B} \cdot [mV] \quad (11)$$

$SNR = (P_{\text{signal}})/(P_{\text{noise}})$ relaciona potencias. Como q se define como una variable aleatoria, no se puede representar su potencia explícitamente. Se usa una versión estadística de SNR.

$$SNR_{ADC} = 10 \cdot \log_{10} \left(\frac{\text{varianza señal entrada}}{\text{varianza ruido cuantizador}} \right), \quad [dB] \quad (12)$$

$$= 10 \cdot \log_{10} \left(\frac{\sigma_{\text{signal}}^2}{\sigma_{ADC}^2} \right). \quad (13)$$

Relación señal-ruido de un ADC (2)



$$\sigma_{ADC}^2 = \int_{-q/2}^{q/2} (e - \mu)^2 p(e) de = \int_{-q/2}^{q/2} e^2 p(e) de = \frac{1}{q} \int_{-q/2}^{q/2} e^2 de = \frac{q^2}{12}, \quad (14)$$

$$\sigma_{ADC}^2 = \left(\frac{2V_p}{2^B} \right)^2 \cdot \frac{1}{12} = \boxed{\frac{V_p^2}{3 \cdot 2^{2B}}}, \quad (15)$$

$$LF = \frac{rms_{signal}}{V_p} = \frac{\sigma_{signal}}{V_p} \Rightarrow \sigma_{signal}^2 = \boxed{LF^2 \cdot V_p^2}, \quad (\text{Load Factor}) \quad (16)$$

$$SNR_{ADC} = 10 \cdot \log_{10} \left[\left(LF^2 \cdot V_p^2 \right) \cdot \frac{3 \cdot 2^{2B}}{V_p^2} \right] = 10 \cdot \log_{10} \left[\left(LF^2 \cdot 3 \cdot 2^{2B} \right) \right], \quad (17)$$

$$= 10 \cdot \left[\log_{10}(LF^2) + \log_{10}(3) + 2 \log_{10}(2) \cdot B \right], \quad (18)$$

$$= 20 \cdot \log_{10}(LF) + 4.77 + 6.02 \cdot B. \quad [\text{dB}] \quad (19)$$

$$\begin{aligned} SNR_{ADC} &= 20 \cdot \log_{10}(LF) + 4.77 + 6.02 \cdot B, \quad [\text{dB}] \\ &= 20 \cdot \log_{10} \left(\frac{rms_{signal}}{V_p} \right) + 4.77 + 6.02 \cdot B. \quad [\text{dB}] \end{aligned}$$

Consideraciones:

- Para aumentar SNR_{ADC} lo ideal es que $rms_{signal} \gg V_p$, pero esto producirá distorsión severa en la señal muestreada (saturación).
- Por otro lado, si $rms_{signal} \ll V_p$ disminuye SNR_{ADC} .
- La ec. 19 es para un ADC ideal. No se consideran otras fuentes de error del ADC.
- Además, se considera que la tensión máxima de entrada coincide con V_p del ADC.
- Por tanto, en la práctica se asume que el SNR_{ADC} calculado es entre 3 y 6 dB menor.
- Se ve que SNR_{ADC} aumenta 6 dB por cada bit que posea el cuantizador del ADC.
- Entonces, mientras más bits tenga el ADC, mejor. ¿O no?.

Para una señal con distribución gaussiana, una solución de compromiso es $rms_{signal} = V_p/2$ (demostración para el alumno).

$$SNR_{ADC} = 20 \cdot \log_{10} \left(\frac{rms_{signal}}{V_p} \right) + 4.77 + 6.02 \cdot B, \quad (20)$$

$$= 20 \cdot \log_{10} \left(\frac{V_p/2}{V_p} \right) + 4.77 + 6.02 \cdot B. \quad (21)$$

Así, su máximo SNR_{ADC} está dado por,

$$SNR_{ADC} = 20 \cdot \log_{10} (0.5) + 4.77 + 6.02 \cdot B, \quad (22)$$

$$= -6.02 + 4.77 + 6.02 \cdot B, \quad (23)$$

$$= -1.25 + 6.02 \cdot B. \quad [\text{dB}] \quad (24)$$

Considere el siguiente ejemplo:

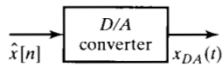
- La SNR de cierto amplificador de audio es de 110 dB.
- Se decide usar un ADC de 24 bits (audio profesional) para muestrear el amplificador.

$$SNR_{ADC} = -1.25 + 6.02 \cdot 24 - 3 = 140.23 \text{ dB}.$$

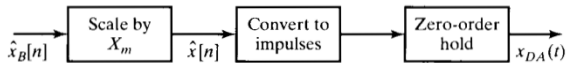
- ¡Se están usando $(140 - 110)/6 \simeq 5$ bits para muestrear ruido!.
- En un lazo de control una mala estimación de la cantidad de bits del ADC puede llevar a resultados catastróficos.

Conclusión: la cantidad bits de un ADC debe estar en función de la SRN de la señal que se desea muestrear.

- Regla: se debe elegir el ADC comercial con el número de bits que brinde 6 dB sobre la SNR de la señal a muestrear.
- Por otra parte, se pueden eliminar los bits adicionales (ruido) con desplazamiento a derecha aritmético (`adc_read >>= 5`).



(a)



(b)

Figure 4.53 (a) Block diagram of D/A converter. (b) Representation in terms of a zero-order hold.

Conversión D/A (2)

Un conversor D/A toma una secuencia de números y los transforma en una señal continua $x_{DA}(t)$,

$$x_{DA}(t) = \sum_{n=-\infty}^{\infty} \hat{x}[n]h_0(t - nT). \quad (25)$$

h_0 es la respuesta al impulso de un sostenedor de orden zero (Zero-Order Hold, ZOH).

$$h_0(t) = \begin{cases} 1, & 0 < t < T \\ 0, & \text{en otro caso} \end{cases}. \quad (26)$$

Otro modelo de $x_{DA}(t)$

$$x_{DA}(t) = x_0(t) + e_0(t), \quad (27)$$

$$x_0(t) = \sum_{n=-\infty}^{\infty} x[n]h_0(t - nT), \quad (28)$$

$$e_0(t) = \sum_{n=-\infty}^{\infty} e[n]h_0(t - nT). \quad (29)$$

La transformada de Fourier de $x_0(t)$,

$$X_0(j\Omega) = \sum_{n=-\infty}^{\infty} x[n]H_0(j\Omega)e^{-j\Omega nT}, \quad (30)$$

$$= \left(\sum_{n=-\infty}^{\infty} x[n]e^{-j\Omega nT} \right) H_0(j\Omega), \quad (31)$$

$$= X(e^{j\Omega T})H_0(j\Omega), \quad (32)$$

$$= \left[\frac{1}{T} \sum_{k=-\infty}^{\infty} X_a \left(j \left(\Omega - \frac{2\pi k}{T} \right) \right) \right] H_0(j\Omega). \quad (33)$$

$x[n]$ se relaciona con la señal de entrada como $x[n] = x_a(nT)$.

Conversión D/A (4)

Se define la respuesta en frecuencia de un filtro de reconstrucción compensado como,

$$\tilde{H}_r(j\Omega) = \frac{H_r(j\Omega)}{H_0(j\Omega)}. \quad (34)$$

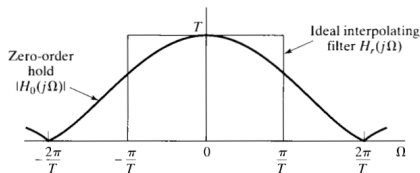
Donde,

$$H_0(j\Omega) = \frac{2 \sin(\Omega T/2)}{\Omega} e^{-j\Omega T/2}, \quad (35)$$

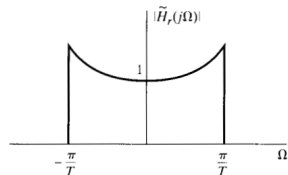
$$H_r(j\Omega) = \begin{cases} T & , |\Omega| < \pi/T \\ 0 & , |\Omega| > \pi/T \end{cases}. \quad (36)$$

Por tanto,

$$\tilde{H}_r(j\Omega) = \begin{cases} \frac{\Omega T/2}{\sin(\Omega T/2)} e^{j\Omega T/2} & , |\Omega| < \pi/T \\ 0 & , |\Omega| > \pi/T \end{cases}. \quad (37)$$



(a)



(b)

Figure 4.54 (a) Frequency response of zero-order hold compared with ideal interpolating filter. (b) Ideal compensated reconstruction filter for use with a zero-order-hold output.

$|H_0(j\Omega)|$ atenua -4 dB en $\Omega = \pi/T$.

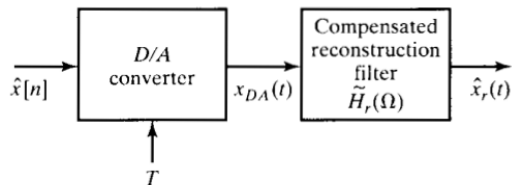


Figure 4.55 Physical configuration for digital-to-analog conversion.

$$\hat{x}(t) = \sum_{n=-\infty}^{\infty} \hat{x}[n] \frac{\sin[\pi(t - nT)/T]}{\pi(t - nT)/T} \quad (38)$$

- 1 Alan V. Oppenheim and Ronald W. Schafer. *Discrete-time signal processing, 2nd Ed.* Prentice Hall. 1999. Secciones 4.1, 4.2, 4.3 y 4.8.
- 2 Richard G. Lyons. *Understanding Digital Signal Processing, 2nd Ed.* Prentice Hall. 2004. Sección 12.3.1.
- 3 Paolo Prandoni and Martin Vetterli. *Signal processing for communications.* Taylor and Francis Group, LLC. 2008. Sección 9.6.